

УДК 539.1.074.27:539.173.8

## ИСКРОВОЙ СЧЕТЧИК ОСКОЛКОВ ДЕЛЕНИЯ

Ю. П. ГАНГРСКИЙ, Б. ДАЛХСУРЕН, Ю. А. ЛАЗАРЕВ, Б. Н. МАРКОВ,  
НГУЕН КОНГ КХАНЬ

Описан искровой счетчик осколков деления. Приведены результаты измерений эффективности регистрации осколков и разрешающего времени для различных смесей газов на основе He, Ne, Ar, Kr, Xe, N<sub>2</sub>. Показано, что для ряда смесей газов можно получить эффективность регистрации до 50%, а для  $\alpha$ -частиц — менее  $10^{-10}\%$ .

Описанный в [1—5] многонитевой искровой счетчик успешно использовался для регистрации осколков деления на фоне высокой  $\alpha$ -активности (до  $10^9 \alpha$ -частич/сек). Однако механизм работы искрового счетчика такого типа еще не совсем ясен, а его свойства недостаточно исследованы. В данной работе изучались эффективность регистрации осколков деления и дискриминационные характеристики искрового счетчика, а также измерялось время разрешения при наполнении его различными смесями газов.

Основная особенность механизма работы искрового счетчика — локальный характер газового разряда (искровой пробой), для возникновения которого существенна не полная ионизация, производимая заряженными частицами в чувствительном объеме счетчи-

ка, а удельная (локальная) плотность ионизации вдоль следа частицы. Поэтому вероятность многократных наложений пренебрежимо мала, и для надежной дискриминации  $\alpha$ -частиц от осколков деления важно лишь максимально снизить эффективность регистрации отдельных  $\alpha$ -частиц, сохранив при этом достаточно высокую эффективность регистрации осколков деления.

Для эффективного возникновения искрового пробоя должно быть выполнено условие [6]

$$n_- G \geqslant 10^8, \quad (1)$$

где  $G$  — фактор газового усиления,  $n_-$  — число носителей заряда, образованных зараженной частицей. Поскольку величины  $n_-$ , пропорциональные удельным ионизационным

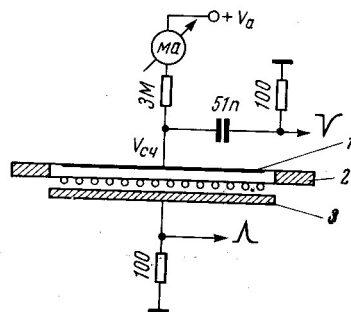


Рис. 1. Основные элементы и схема включения искрового счетчика.  
1 — мишень, 2 — анод, 3 — катод

потерям, различаются для осколков деления и  $\alpha$ -частиц почти в 100 раз, то соответствующим выбором состава и давления наполняющего счетчик газа и напряжения питания можно получить такое значение  $G$ , что условие (1) будет выполнено лишь для осколков деления. При этом может быть достигнута высокая степень дискриминации  $\alpha$ -частиц от осколков деления.

В искровом счетчике существует стабильный коронный разряд, обусловленный сильной неоднородностью электрического поля вблизи нитей анода. Постоянный ток коронного разряда вызывает падение напряжения на гасящем сопротивлении  $R$  (рис. 1), поэтому напряжение на электродах счетчика оказывается меньше, чем напряжение источника питания. Коронный ток растет с увеличением напряжения источника питания, поэтому напряжение на счетчике меняется очень мало. Это приводит к стабилизации работы счетчика и появлению плато на счетной характеристике, тем более длинному, чем выше гасящее сопротивление.

Конструкция использованного в работе счетчика аналогична описанным в [3, 5]. Анодом является сетка из вольфрамовых нитей  $\phi 0,1 \text{ мм}$ ; натянутых на металлическое кольцо, а катодом служит полированная медная пластина с хромированной поверхностью. Расстояние между электродами 2  $\text{мм}$ , а мишень располагалась в 3  $\div$  4  $\text{мм}$  от анода. Расстояние между нитями сетки определяет эффективность счетчика, однако при расстояниях  $< 2 \text{ мм}$  счетчик работает неустойчиво, так как электрическое поле уже не является сильно неоднородным, и условия для зажигания короны ухудшаются. Счетчик помещается в вакуумной камере, которая перед

заполнением рабочим газом откачивается до давления  $10^{-2} \text{ тор}$ .

В [3  $\div$  5] было показано, что хорошую дискриминацию  $\alpha$ -частиц от осколков можно получить при использовании  $N_2$  или смеси He и Xe. В данной работе исследованы многие смеси газов, при наполнении которыми счетчик имеет высокую эффективность регистрации осколков деления, надежно дискриминирует осколки в интенсивных потоках  $\alpha$ -частиц (до  $10^9$  частиц/сек) и устойчив при продолжительной работе. Исследовалась работа счетчика при наполнении его He, Ne, Ar, Kr, Xe и  $N_2$ , а также различными смесями этих газов как при атмосферном, так и при пониженном (до 80 тор) давлении. Источником осколков служил помещенный в счетчик слой  $^{235}\text{U}$ , облучаемый тепловыми нейтронами. Абсолютная величина эффективности регистрации осколков деления определялась сравнением числа импульсов на выходе счетчика с числом треков на диэлектрическом детекторе [7], который располагался на месте катода.

Оказалось, что чистые инертные газы, а также газы с примесями органических добавок непригодны: одновременно с зажиганием короны возникают самопроизвольные разряды. Смеси на основе Ne, Ar и Kr плохо дискриминируют  $\alpha$ -частицы от осколков. Смеси, удовлетворяющие указанным выше условиям, представлены в таблице.

Эффективность регистрации осколков деления и разрешающее время для различных смесей газов

Наполнение	Общее давление смеси, тор	$\varepsilon_f$ , %	$U_{\text{сч}}$ , в	$V_{\text{имп.}}$ , в	$\tau$ , нsec
He + 1,3% $N_2$	765	17	1080	30	100
He + 0,5% Xe	765	17	750	35	120
He + 10% Xe	80	21	550	5	—
He + 45% $N_2$	120	12	1350	72	—
$N_2$	120	13,5	1625	100	12
$N_2$	300	20	3800	200	11
$N_2$ + 25% He	120	13	1560	90	—
$N_2$ + 5% Ne	100	19	1350	80	30
$N_2$ + 4% Ar	100	13	1450	95	—

Эффективность регистрации осколков деления  $\varepsilon_f$  измерена при расстоянии между нитями сетки 6  $\text{мм}$  (при меньшем расстоянии эффективность соответственно выше). В таблице приводятся также значения напряжения на электродах счетчика  $U_{\text{сч}}$  и ампли-

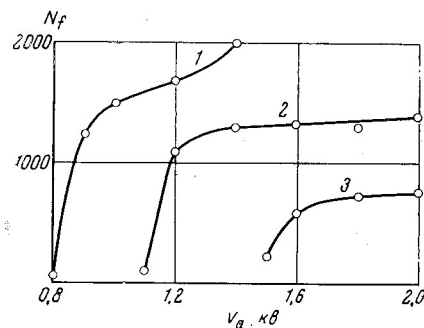


Рис. 2. Счетные характеристики искрового счетчика для наполнений: 1 — Не + 0,3% Аг (760 мм), 2 — Не + 1,3% N<sub>2</sub> (760 мм), 3 — N<sub>2</sub> (120 мм). N<sub>f</sub> — число импульсов счетчика, V<sub>a</sub> — напряжение источника питания.

туда импульса  $V_{\text{имп}}$  на сопротивлении 100 ом. Типичные счетные характеристики для ряда указанных в таблице смесей газов показаны на рис. 2. Эффективность регистрации  $\alpha$ -частиц, измеренная при использовании источника <sup>241</sup>Am активностью  $10^9 \alpha$ -частиц/сек, составила  $\sim 10^{-10} \%$ .

Для ряда смесей было измерено разрешающее время счетчика  $\tau$ , т. е. флуктуация времени запаздывания искрового пробоя относительно момента прохождения осколка. Измерялась относительная задержка импульсов, возникающих при регистрации двух осколков одного акта деления в двух идентичных счетчиках. Временное распределение импульсов измерялось при помощи широкодиапазонного времязамерного конвертора [8]. Результаты измерений представлены в таблице. Видно, что временные

свойства существенно зависят от состава смеси.

Описанный искровой счетчик успешно использовался при исследовании свойств спонтанно делящихся изомеров, образующихся в реакциях с нейтронами [9] и  $\gamma$ -квантами [10].

Авторы выражают благодарность Г. Н. Флерову за постоянный интерес к работе, а также С. М. Поликанову, Ю. В. Рябову, Со Дон Сик и Т. Надь за полезные обсуждения, А. Г. Белову и А. М. Кучеру за помощь в работе.

#### ЛИТЕРАТУРА

1. M. P. Savel, Compt. Rend. Acad. Sci., 1952, 235, 156.
2. C. D. Bowman, R. W. Hill, Nucl. Instrum., 1963, 24, 213.
3. В. Ф. Герасимов, ПТЭ, 1966, № 6, 78.
4. E. Mignaco, I. P. Theobald, M. Mergela, Preprint EUR-4077e, 1968, Luxembourg.
5. Ю. В. Рябов, Со Дон Сик, Препринт ОИЯИ, 1968, Р3-3959, Дубна.
6. Г. Ретер, Электронные лавины и пробой в газах, 1968, «Мир».
7. В. П. Переягина, С. П. Третьякова, И. Звара, ПТЭ, 1964, № 4, 78.
8. Ю. Т. Будяшов, В. Г. Зинов, ПТЭ, 1968, № 4, 102.
9. Ю. П. Гангрский, К. А. Гаврилов, Б. Н. Марков, Нгуен Конг Кхань, С. П. Поликанов, Препринт ОИЯИ, 1968, Д7-4154, Дубна.
10. Ю. П. Гангрский, Б. Н. Марков, Ю. М. Ципенюк, Препринт ОИЯИ, 1969, Р15-4552, Дубна.

Объединенный институт ядерных исследований,  
Дубна. Получено 28.VI.1969